21 例肺黏膜相关淋巴组织淋巴瘤的 **C**T 和¹⁸F-氟代脱氧葡萄糖正电子发射 计算机断层显像的影像学表现

马瑜婉1、宋敏捷1、丁重阳2

(1. 江苏省宿迁市钟吾医院, 江苏 宿迁, 223800; 2. 江苏省人民医院 核医学科, 江苏 南京, 210029)

要:目的 探讨肺黏膜相关淋巴组织(MALT)淋巴瘤的 CT 和 18 F-氟代脱氧葡萄糖(18 F-FDG)正电子发射计算机断层 显像(PET)-CT 的影像学表现。方法 回顾性分析经病理结果证实的 21 例肺 MALT 淋巴瘤患者的 CT 及 PET-CT 影像学资 料,并通过 Logistic 回归分析探讨18 F-FDG 亲和力与影像学表现的相关性。结果 21 例患者中,共发现 60 个肺部病灶,其中 22 个实变样病灶, 28 个结节或肿块样病灶和10 个磨玻璃样病灶。12 例为单发病灶, 9 例为多发病灶, 多发病灶患者中, 双侧 病灶 7 例,单侧病灶 2 例。¹⁸ F-FDG PET-CT 显示,60 个病灶中45 个为高代谢病灶,15 个为低代谢病灶。Logistic 回归分析发 现, ¹⁸F-FDG 亲和力与病灶形态及病灶直径相关(P<0.01)。**结论** 肺 MALT 淋巴瘤影像学表现多样,可为结节或肿块型、肺 炎型及磨玻璃型,多为亲和¹⁸F-FDG的肿瘤,且¹⁸F-FDG亲和力与肿瘤直径及形态相关。

关键词:肺黏膜相关淋巴组织淋巴瘤; CT; ¹⁸F-氟代脱氧葡萄糖;正电子发射计算机断层显像;相关性;亲和力;病灶 中图分类号: R 734.2; R 445.3 文献标志码: A 文章编号: 1672-2353(2022)14-018-04 DOI: 10.7619/jcmp.20220377

CT and positron emission tomography/computed tomography using (18) F-fluorodeoxyglucose findings in 21 patients with pulmonary mucosa-associated lymphoid tissue lymphoma

MA Yuwan¹, SONG MinJie¹, DING Chongyang²

(1. Suqian Zhongwu Hospital of Jiangsu Province, Suqian, Jiangsu, 223800; 2. Department of Nuclear Medicine, Jiangsu Provincial People's Hospital, Nanjing, Jiangsu, 210029)

Abstract: Objective To investigate imaging manifestations of CT and positron emission tomography/computed tomography (PET)-CT using (18) F-fluorodeoxyglucose (18F-FDG) in pulmonary mucosa-associated lymphoid tissue (MALT) lymphoma. Methods CT and PET-CT imaging findings of 21 patients with pulmonary MALT lymphoma confirmed by pathological results were retrospectively analyzed, and the correlation between affinity of 18 F-FDG and imaging findings was analyzed by Logistic regression analysis. **Results** A total of 60 pulmonary lesions were found in 21 patients, including 22 consolidation-like lesions, 28 nodular or mass-like lesions, and 10 ground-glass lesions. A total of 12 cases were single lesions and 9 cases were multiple lesions. Among the patients with multiple lesions, 7 cases were bilateral and 2 cases were unilateral lesions. ¹⁸F-FDG PET-CT showed that 45 of the 60 lesions were hypermetabolic lesions and 15 were hypometabolic lesions. Logistic regression analysis showed that 18F-FDG affinity was correlated with morphology and diameter of lesions (P < 0.01). Conclusion The imaging manifestations of pulmonary MALT lymphoma are diverse, including nodular or mass type, pneumonic type and ground glass type. Most of them have 18 F-FDG affinity that is related to tumor diameter and morphology.

Key words: lung mucosa-associated lymphoid tissue lymphoma; CT; (18) F-fluorodeoxyglucose; positron emission tomography/computed tomography; correlation; affinity; lesions

收稿日期: 2022 - 02 - 08

通信作者: 丁重阳, E-mail: chongyangding@163.com

肺原发性非霍奇金淋巴瘤是一种非常罕见的 疾病,仅占所有恶性淋巴瘤的0.4%,其中最常见 的亚型是黏膜相关淋巴组织(MALT)淋巴 瘤^[1-2]。MALT 淋巴瘤也称为结外边缘区 B 细胞 淋巴瘤,起源于 B 细胞的 MALT 边缘区,可能来 自 MALT, 除了胃肠道以外[3], 肺是最常见的受 累器官之一[4]。肺 MALT 淋巴瘤是一种源于支 气管相关淋巴组织的疾病,被认为与长期暴露于 多种抗原刺激有关,如吸烟、炎症或自身免疫性疾 病,导致负责病原体清除的黏膜 B 淋巴细胞不受 控制地增殖,即连续复制导致 DNA 错误,其中一 些具有促进复制和抗凋亡的作用,从而导致肿瘤 细胞的增殖。肺 MALT 淋巴瘤罕见,因此目前临 床对该病的误诊率较高[5]。本研究回顾性分析 21 例经病理证实的肺 MALT 淋巴瘤患者的 CT 和 正电子发射计算机断层显像(PET)-CT的影像学 表现,以期提高对该病的认识。

资料与方法

1.1 一般资料

选取 2016 年 1 月—2020 年 12 月江苏省人民 医院经病理结果证实的 21 例肺 MALT 淋巴瘤患 者为研究对象,其中手术切除3例,纤维支气管镜 活检8例,CT引导下经皮肺穿刺10例。患者年 龄 33~78岁,平均(56.8±11.2)岁; 男 12例,女 9例;临床分期为Ⅰ期11例,Ⅱ期4例,Ⅳ期 6例;病灶位置为单侧14例,双侧7例;病灶单 发12例,多发9例。所有患者治疗前均接受 胸部 CT 平扫及¹⁸ F-氟代脱氧葡萄糖(¹⁸ F-PDG) PET-CT 检查。21 例患者一般资料比较,差异无 统计学意义(P>0.05)。

1.2 扫描方法

¹⁸F-FDC PET-CT 扫描: 采用德国 Siemens Biograph 16HR PET-CT 扫描仪对患者进行扫描。 使用的显像剂为18 F-FDG, 放射性化学纯度 > 95%, 由美国 GE trace 型回旋加速器生产,并通 过自动合成模块自动合成。注药前,所有患者均 空腹6h以上,保证空腹血糖≤7.0 mmol/L,静脉 注射放射性同位素18 F-FDG, 注射剂量为 3.70~ 5.55 MBq/kg, 1 h 后行 PET-CT 检查。

CT 扫描条件为层厚 5 mm, 准直 1.5 mm, 管 电流 140 mA, 管电压 120 kV。PET 扫描范围包 括颅顶至双侧腹股沟,采集6~7个窗位,每个窗 位采集 2 min。CT 数据衰减校正后, 迭代重建 PET 图像, 层厚 5 mm, 最终获得 PET、CT、PET-CT 融合图像的横断、矢状、冠状面。

所有扫描图像均由2位经验丰富的放射科医 生进行回顾性审查。描述 MALT 淋巴瘤的形态学 特征包括偏侧性、定位、数量、直径、是否合并支气 管扩张、淋巴结是否肿大、是否有胸腔积液以及淋 巴瘤细胞代谢特点等。

1.3 统计学分析

所有的统计数据均采用 SPSS 22.0 软件进行 分析。计量资料的描述采用平均值 ±标准差、最 小值和最大值,计数资料采用率表示。采用 Logistic 回归分析评估18 F-FDG 亲和力与其他临 床、病理及 CT 特征的相关性, P < 0.05 表示与该 变量独立相关。

2 结 果◂

2.1 CT特征

21 例肺 MALT 淋巴瘤患者中, 共发现 60 个 肺部病灶,其中22个(36.7%)为肺炎实变型病 灶(见图 1), 28 个(46.7%) 为肿块或结节型病 灶(见图 2), 10 个(16.7%) 为磨玻璃型病灶(见 图 3)。18 个(30.0%)病灶合并空气支气管征,17 个(28.3%)病灶出现支气管扩张,6个(10.0%) 病灶有空洞,2个(3.3%)病灶有钙化灶。其中, 12 例患者病灶为单发(57.1%),9 例患者病灶为 多发(42.9%)。9 例多发病灶患者中, 2 例病灶 分布在单侧, 7 例病灶分布在为双侧。4 例患者 伴胸腔积液(19.0%), 4 例患者纵隔淋巴结肿大 (19.0%)。60个病灶位置分布:39个病灶位于 右肺(65.0%), 其中18个位于右肺上叶,9个位 于右肺中叶, 12 个位于右肺下叶; 21 个病灶分 布在左肺(35.0%), 其中14个病灶位于左肺上 叶,7个病灶位于左肺下叶。肿瘤直径为10.2~ 105.4 mm, 平均直径为(40.7 ± 8.9) mm。

2.2 PET-CT 特征

21 例患者 PET-CT 扫描结果显示, 60 个病灶 中, 45 个为亲和¹⁸ F-FDG 病灶(75.0%), 且为高 代谢病变,其中结节或肿块型病灶23个(图1), 实变型病灶2个(图2), 磨玻璃样病灶20个; 病 灶直径为(49.0 ± 4.1) mm; 病灶位于右肺上叶 11个,右肺中叶9个,右肺下叶10个,左肺上叶 11个, 左肺下叶4个; 14个病灶有空气支气管 征,6个病灶有空洞,14个病灶伴支气管扩张。 15 个病灶显示为低代谢病灶(25.0%), 其中结 节或肿块型病灶5个,实变型病灶8个,磨玻璃样 病灶2个(图3);病灶直径为(15.7±1.1) mm; 病灶位于右肺上叶7个,右肺下叶2个,左肺上叶 3个, 左肺下叶3个: 4个病灶有空气支气管征,

3个病灶伴支气管扩张,见表 1。Logistic 回归分 析发现, 18 F-FDG 亲和力与病灶形态(P = 0.002) 及病灶直径相关(P < 0.001)

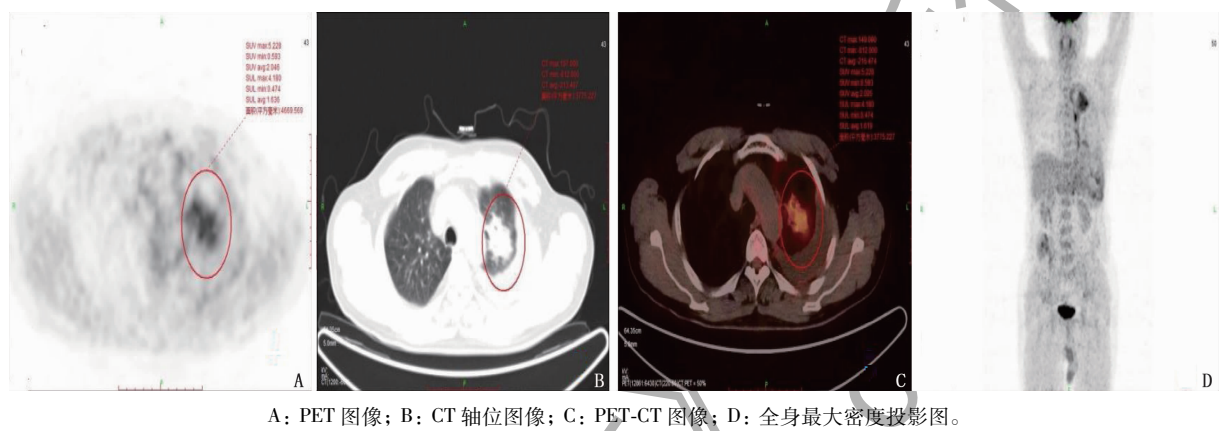
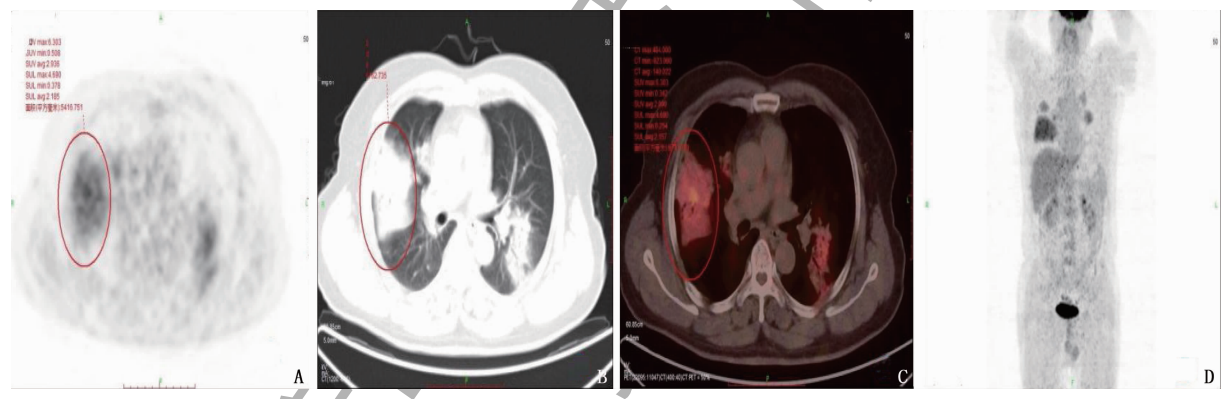


图 1 肺 MALT 淋巴瘤(结节或肿块型)图像



A: PET 图像; B: CT 轴位图像; C: PET-CT 图像; D: 全身最大密度 MIP 投影图。

图 2 肺 MALT 淋巴瘤(实变型)图像



A: PET 图像; B: CT 轴位图像; C: PET-CT 图像; D: 全身最大密度投影(MIP)图。

图 3 肺 MALT 淋巴瘤(磨玻璃型)图像

讨

肺 MALT 淋巴瘤是一种罕见结外低度恶性小 B细胞淋巴瘤,起源于支气管相关淋巴组织[6], 是肺部非霍奇金淋巴瘤最常见的亚型[7]。肺 MALT 淋巴瘤好发于中老年,患者病程一般较长

(2~5年),发展极为缓慢,1/3~1/2的患者无临 床症状,或伴有咳嗽、咳痰、痰中带血、发热、胸痛、 胸闷等一般症状,且实验室检查缺乏特异性[8]。 本研究中,患者中位年龄为56岁,单病灶12例 (57.1%), 多发病灶9例(42.9%), 单侧14例 (66.7%), 双侧 7 例(33.3%), 说明肺 MALT 淋

WI ON I MALHITIDEL WINTWOLVES [IN [N]				
影像学表现	分类	PET-CT 阳性(n = 45)	PET-CT 阴性(n = 15)	P
病灶形态	结节或肿块型	23(51.1)	5(33.3)	0.002
	实变型	2(4.4)	8(53.3)	
	磨玻璃样	20(44.4)	2(13.3)	
病灶直径/mm		49.0 ± 4.1	15.7 ± 1.1	< 0.001
病灶位置	右肺上叶	11(24.4)	7(46.7)	0.160
	右肺中叶	9(20.0)	0	
	右肺下叶	10(22.2)	2(13.3)	
	左肺上叶	11(24.4)	3(20.0)	
	左肺下叶	4(8.9)	3(20.0)	
空气支气管征	有	14(31.1)	4(26.7)	0.745
	无	31(68.9)	11(73.3)	
空洞	有	6(13.3)	0	0.136
	无	39(86.7)	15(100.0)	
支气管扩张	有	14(31.1)	3(20.0)	0.412
	无	31(68.9)	12(80.0)	

表 1 60 个病灶的 PTE-CT 影像学表现($\bar{x} \pm s$)[n(%)]

巴瘤可单发或多发,影像表现多样,缺乏特异性,与以往文献^[9-10]结论相符。

研究[11-12] 显示,肿瘤生长方式与形态相关。 ① 支气管血管周围淋巴瘤细胞浸润和扩散主要 沿着支气管血管周围淋巴窦,易导致支气管血管 周围组织增厚,形成结节或肿块,表现为支气管或 胸膜下区域附近的肺间质中的单个或多个界限清 楚或界限不清的类圆形结节和肿块。② 支气管 黏膜下淋巴瘤细胞损伤支气管基底膜和上皮,在 管腔内形成结节状肿块,导致管腔变形、狭窄甚至 堵塞,肺实变、肺不张或阻塞性肺炎样改变,表现 为界限不清的斑片状渗出性病变和(或)实性肿 块[13]。③ 当淋巴瘤细胞浸润支气管周围间质 时,所产生的病变表现为从门向外延伸的弥散性 细或粗的网状或小网状结节性结构或毛玻璃样结 构支气管血管束增厚和扭曲的变化,最常见的是 伴随空气支气管征和支气管扩张[13],而空洞、钙 化、肺囊性病变和胸腔积液不太常见。本研究发 现,60个病灶中,28个病灶(46.7%)为结节肿 块型, 22 个病灶(36.7%)为肺炎实变型, 10 个 病灶(16.7%)为磨玻璃型。18个病灶(30.0%) 出现支气管充气征,17个病灶(28.3%)出现支 气管扩张,且通常出现在实变区,只有6个病灶 (10.0%)出现空洞。21 例患者中, 4 例(19.0%) 患者出现胸腔积液, 4例(19.0%)例患者伴纵隔 淋巴结肿大,与前期文献报道基本一致。

Logistic 分析发现, PET-CT 检查中, 18 F-FDG 亲和力与病灶形态(P = 0.002) 及病灶的直径相关(P < 0.001)。文献 $^{[14]}$ 提出, 肺 MALT 淋巴瘤

多为亲¹⁸ F-FDG 病灶,病灶直径是影响亲¹⁸ F-FDG 亲和力的唯一因素。肺 MALT 淋巴瘤在 CT 上可显示出多种类型的肺异常,有结节、肿块型、肺炎型、毛玻璃型等多种表现类型,认为病灶形态和病灶直径将会影响¹⁸ F-FDG 的亲和力,可能是由于不同的形态代表病变发展的不同阶段。

本研究有一定局限性,病例数相对较少,且是 回顾性研究,入组患者可能有一定偏差。但是结 合病灶形态学、直径、¹⁸ F-FDG 代谢情况以及临床 表现综合评定可明显提高其诊断率。

参考文献

- JHAVERI K, DIMAS D J, VAKIL A, et al. Primary pulmonary involvement in mucosa-associated lymphoid tissue lymphoma [J]. Cureus, 2019, 11(7); e5110.
- [2] 高珂梦, 丁重阳, 孙晋, 等. 原发性肺黏膜相关淋巴组织淋巴瘤的¹⁸F-FDG PET/CT 影像学表现[J]. 国际放射医学核医学杂志, 2019, 43(2): 140-144.
- [3] 徐芬.以胃肠道症状为首发表现的非霍奇金淋巴瘤3例误 诊分析[J].实用临床医药杂志,2008,12(13):86-87.
- [4] HARRIS N L, JAFFE E S, DIEBOLD J, et al. The World Health Organization classification of hematological malignancies report of the Clinical Advisory Committee Meeting, Airlie House, Virginia, November 1997 [J]. Mod Pathol, 2000, 13 (2): 193-207.
- [5] MIYAZAKI S, HACHIYA K, NARA Y, et al. Pulmonary mucosa-associated lymphoid tissue lymphoma mimicking lung cancer [J]. Clin Case Rep. 2019, 7(8): 1615 – 1616.
- [6] NAKAMURA D, KOBAYASHI N, MIYAZAWA M, et al. Pulmonary metastasis with coexisting pulmonary mucosa-associated lymphoid tissue (MALT) lymphoma 20 years after endometrioid adenocarcinoma surgery; a case report [J]. Thorac Cancer, 2021, 12(3); 402-406.

(下转第25面)

容,术后持续跟踪调查,减少疾病复发,促进患者 康复。

综上所述, ERI 用于食管 ESD 后狭窄的治疗 是安全有效的,术中医护间的默契配合能提高患者 手术安全性,围术期规范护理则能促进患者康复。

参考文献

- [1] ONO S, FUJISHIRO M, NIIMI K, et al. Predictors of postoperative stricture after esophageal endoscopic submucosal dissection for superficial squamous cell neoplasms[J]. Endoscopy, 2009, 41(8); 661-665.
- [2] SUN D, SHI Q, LI R, et al. Experience in simultaneous endoscopic submucosal dissection treating synchronous multiple primary early esophageal cancers [J]. J Laparoendosc Adv Surg Tech A, 2019, 29(7): 921 925.
- [3] 王程浩, 韩泳涛. 2020 年中国临床肿瘤学会《食管癌诊疗 指南》解读[J]. 肿瘤预防与治疗, 2020, 33(4): 285-290.
- [4] POINCLOUX L, ROUQUETTE O, ABERGEL A. Endoscopic treatment of benign esophageal strictures; a literature review[J].

 Expert Rev Gastroenterol Hepatol, 2017, 11(1): 53 –64.
- [5] CHIU Y C, HSU C C, CHIU K W, et al. Factors influencing clinical applications of endoscopic balloon dilation for benign esophageal strictures [J]. Endoscopy, 2004, 36(7); 595-600.
- [6] MUTO M, EZOE Y, YANO T, et al. Usefulness of endoscopic radial incision and cutting method for refractory esophagogastric anastomotic stricture (with video) [J]. Gastrointest Endosc, 2012, 75(5): 965-972.
- [7] 王璐,王维钊,周平红,等。内镜下放射状切开术治疗难治性上消化道良性狭窄的临床研究[J].中国内镜杂志,2021,27(9):26-30.
- [8] WEN J, LU Z S, LINGHU E Q, et al. Prevention of esophageal strictures after endoscopic submucosal dissection with the injection of botulinum toxin type A[J]. Gastrointest Endosc,

- 2016, 84(4): 606 613.
- [9] VAN VILSTEREN F G I, POUW R E, SEEWALD S, et al.
 Stepwise radical endoscopic resection versus radiofrequency ablation for Barrett's oesophagus with high-grade dysplasia or early cancer: a multicentre randomised trial[J]. Gut, 2011, 60(6): 765-773.
- [10] KADOTA T, YANO T, KATO T, et al. Prophylactic steroid administration for strictures after endoscopic resection of large superficial esophageal squamous cell carcinoma [J]. Endosc Int Opén, 2016, 4(12); E1267 E1274.
- [11] SATO H, INOUE H, KOBAYASHI Y, et al. Control of severe strictures after circumferential endoscopic submucosal dissection for esophageal carcinoma; oral steroid therapy with balloon dilation or balloon dilation alone [J]. Gastrointest Endosc, 2013, 78(2): 250 257.
- ISOMOTO H, YAMAGUCHI N, NAKAYAMA T, et al. Management of esophageal stricture after complete circular endoscopic submucosal dissection for superficial esophageal squamous cell carcinoma[J]. BMC Gastroenterol, 2011, 11: 46.
- [13] KATADA C, MUTO M, MANABE T, et al. Esophageal Stenosis after endoscopic mucosal resection of superficial esophageal lesions[J]. Gastrointest Endosc, 2003, 57(2): 165–169.
- [14] MIZUTA H, NISHIMORI I, KURATANI Y, et al. Predictive factors for esophageal Stenosis after endoscopic submucosal dissection for superficial esophageal cancer [J]. Dis Esophagus, 2009, 22(7): 626-631.
- [15] HONDA M, NAKAMURA T, HORI Y, et al. Process of healing of mucosal defects in the esophagus after endoscopic mucosal resection: histological evaluation in a dog model[J]. Endoscopy, 2010, 42(12): 1092-1095.
- [16] 张震,张轶群,周平红,等.内镜下放射状切开治疗食管吻合口良性狭窄的临床初探[J].中华消化内镜杂志,2016,33(4):208-210.

(本文编辑: 梁琥)

(上接第21面)

- [7] 陈来荣, 俞同福. 肺黏膜相关淋巴组织淋巴瘤的 CT 表现[J], 医学影像学杂志, 2016, 26(1): 130-132.
- [8] WANG L, YE G, LIU Z, et al. Clinical characteristics, diagnosis, treatment, and prognostic factors of pulmonary mucosa-associated lymphoid tissue-derived lymphoma [J]. Cancer Med, 2019, 8(18): 7660 7668.
- [9] BI.W.L., ZHAO S., WU.C.C., et al. Pulmonary mucosa-associated lymphoid tissue lymphoma; CT findings and pathological basis [J]. J Surg Oncol., 2021, 123(5); 1336-1344.
- [10] 陈利军, 韩月东, 张明. 肺黏膜相关淋巴组织淋巴瘤的 CT 表现[J]. 肿瘤影像学, 2021, 30(3): 191-194.
- [11] YAMASAKI M, TAKENAKA T, MATSUMOTO N, et al. Primary pulmonary collision tumor comprising squamous cell carcinoma and mucosa-associated lymphoid tissue lymphoma [J]. Lung

- Cancer Amsterdam Neth, 2019, 129: 107 109.
- [12] 朱小云, 单飞, 邢伟, 等. 肺黏膜相关淋巴组织淋巴瘤的 CT 表现[J]. 临床放射学杂志, 2014, 33(3): 456-459.
- [13] CHEN Y N, CHEN A P, JIANG H L, et al. HRCT in primary pulmonary lymphoma: can CT imaging phenotypes differentiate histological subtypes between mucosa-associated lymphoid tissue (MALT) lymphoma and non-MALT lymphoma[J].
 J Thorac Dis, 2018, 10(11): 6040 6049.
- [14] ZHAO J, WANG H Q. Correlation between ¹⁸F-FDG PET/ CT semiquantitative parameters and Ki-67 expression in pulmonary mucosa-associated lymphoid tissue lymphoma [J]. J Med Imaging Radiat Oncol, 2021, 65(2): 188 – 194.

(本文编辑: 周冬梅)